

## 2本直列柱体の空力応答特性に関する2、3の考察

京都大学工学部 正員 白石成人

京都大学工学部 正員 松本勝

京都大学工学部 正員 白土博通

日本道路公团 正員 佐川信之

京都大学大学院 学生員○油谷康弘

1 玄元ボギー 流体中に複数の構造物が配置され上流側物体の後流域内に他物体が存在する場合、この後流域物体が不安定振動を引き起こすことがある。これらの不安定振動のうち本研究では、特に流れに直角に2本円柱が近接して置かれた状態で後流域円柱が渦励振より高風速側で流れ直角方向に振動する現象、いわゆる Wake Galloping (Wake Galloping に関しては最近さざな研究が行なわれている。<sup>1) 2)</sup>) に関して静的空気力特性、静的圧力分布特性、非定常圧力分布特性を調べ考察を加えた。

### 2 実験概要による実験結果、考察

(i) 応答特性 Fig. 1 に後流域円柱(直径 58 mm、長さ 930 mm、ジュラルミン製)の風向直角方向の応答図を示す。無次元風速  $V/V_{tD}$  = 22付近より Wake Galloping が発生している。この応答特性は L 及び D により、また模型質量及び構造減衰により大きく変化することが実験結果より明らかになつたが本研究では L = (3D°) に注目し以下実験を行つた。

(ii) 静的圧力特性 (i) と同一の模型を用い円柱間距離を 3D に固定し流れ直角方向の位置 (X) を変え、それぞれの位置で各圧力孔における圧力を測定した。測定結果を Fig. 2 に示す。これより静的圧力分布特性は  $X/D$  の値により 3 つに分類される。Fig. 3 には各々のタイプの代表例として (I)  $X/D = 0$ 、(II)  $X/D = 0.35$ 、(III)  $X/D = 0.86$  のパターンを示す。 (I) では円柱の全領域で負圧となるが、後柱が完全に後流内にあると思われる。一方 (IV) では 45°、(V) では 90° 付近で極小値となる。これに Fig. 4 に示すように 2 円柱間に流速の大きな流れ (Gap Flow) が存在しその方向が  $X/D$  により変化するためと思われる。Fig. 5 には各  $X/D$  について円柱まわりの圧力を積分し静的揚力係数に換算したものと示す。これより  $C_L$  値はすべての  $X/D$  にわたり正の値を示し揚力は常に中心方向に作用するもの

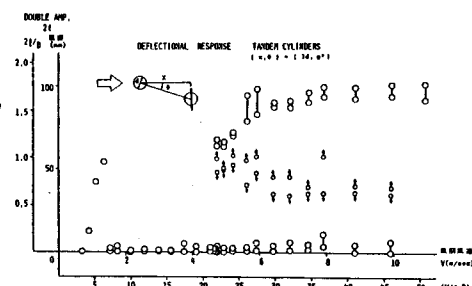


Fig. 1

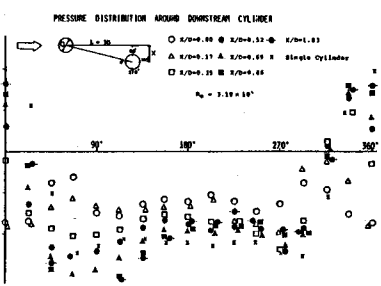


Fig. 2

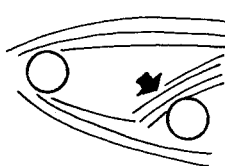


Fig. 4

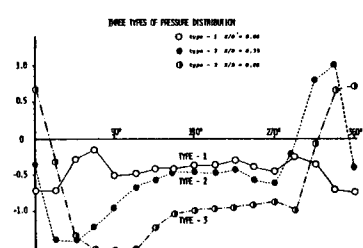


Fig. 3

と判断される。また  $X/D = 0.3$  および  $X/D = 0.8$  付近に  $C_L$  値のピーカーが認められるがこれらは図 3 に示した典型的な静的圧力分布特性を示す  $X/D$  値と対応すると考えられる。

(iii)動的圧力特性 Fig. 6, Fig. 7 は 2 本円柱  $\varnothing (L\theta) = (300)$  の状態で Wake Galloping 発生時に変動圧力と揚力方向、抗力方向に分離し積分することによて揚力係数、抗力係数を求め横軸に振動変位  $X$  をとり振動一周期に渡して示したものである。同時に破線で静的圧力係数から得られた静的圧力係数を示した。いま振動中の円柱に作用する揚力  $F(t)$  とすれば円柱の運動方程式は

$$\ddot{X} + 2\zeta\omega\dot{X} + \omega^2 X = \frac{F(t)}{m} \quad \text{と表わされる。簡単のため } X_0t = X, \zeta\omega t = \varphi, F(t) = F_0 \sin \omega t \text{ とすれば振動一周期当たり外力 } F(t) \text{ の力の仕事は } W = \int F(t) \dot{X} dt = \pi F_0 X_0 \sin \varphi \text{ となる。Fig. 5 より } X_0 > 0 \text{ のとき } F_0 < 0 \text{ となるから } W > 0 \text{ となるためには } \varphi < 0 \text{ すなはち空気力が変位に対して位相遅れとなることが必要である。Fig. 7 より空}$$

気力と変位との間にはある位相差  $\varphi$  が存在し位相遅れてあることが明らかとなる。また最大変位付近での変動揚力は静的揚力とは大きく異なり中心方向へ。力は準定常揚力と比べかなり大きいことが知られる。このような特性を Fig. 8 に示す流れ・可視化実験結果から 2 円柱間を流れ Gao Flow と密接な関係にあるものと考えられる。

3 結論 本研究は 2 本円柱の Wake Galloping に注目し、その発生機構について主として圧力特性から考察を加えた。得られた結果は次のようである。

(i) 後流側円柱の静的圧力分布特性はその分布形状により (I)  $X/D = 0$  (II)  $X/D = 0.35$ , (III)  $X/D = 0.86$  の 3 つのパターンに分類することができる。

(ii) 後流側円柱の静的揚力は常に Wake の中心方向へ作用し  $X/D = 0.3$  および  $X/D = 0.8$  付近でピーカー値をとる。これらは(i)で述べた(II)および(III)の圧力分布特性に対応するものであると考えられる。

(iii) 振動中の非定常圧力測定結果より後流側円柱に作用する変動揚力は円柱変位に対してある位相遅れとともに、かつ最大振幅付近で静的揚力に比べかなり大きな値を示すことからその非定常性は強いものと判断される。

参考文献

- 1) 宇都宮英也: 隣接する並列円柱の空気力学的挙動 土木学会論文報告集 236 号 1983 年
- 2) 吉石成久, 松本勝, 白川慶一: 直列柱状構造物に関する基礎的研究, 第 7 回風工学シンポジウム

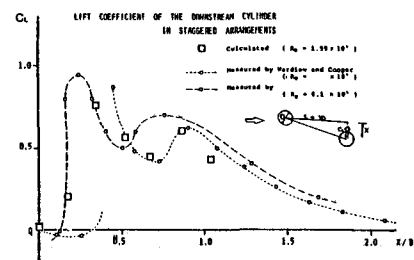


Fig. 5

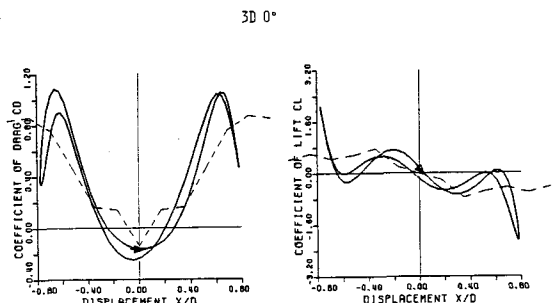


Fig. 6

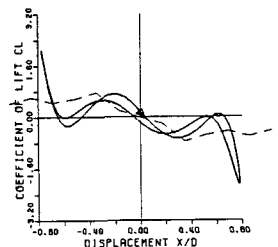


Fig. 7

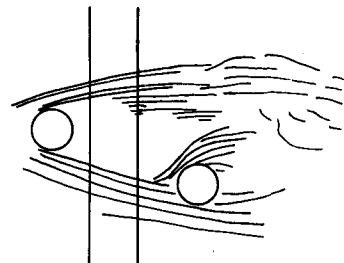


Fig. 8